

RAPPORT DE PROJET

*Maram Sall GUEYE – Reina AL MASRI
LDD2 IM - UE Projet-Info*

RAPPORT DE PROJET - CIRCUITS BOOLÉENS	2
1 INTRODUCTION	2
2 ARCHITECTURE DU PROJET	2
STRUCTURE DU PROJET	2
PROJET-INFO/	2
└─ MODULES/	2
└─ NODE.PY	2
└─ MATRIX.PY	2
└─ OPEN_DIGRAPH.PY.....	2
└─ BOOL_CIRC.PY.....	2
└─ MIXINS/	2
└─ OPEN_DIGRAPH_BASE_MX.PY.....	2
└─ OPEN_DIGRAPH_NODE_MX.PY.....	2
└─ OPEN_DIGRAPH_EDGE_MX.PY.....	2
└─ OPEN_DIGRAPH_ALGORITHMS_MX.PY.....	2
└─ OPEN_DIGRAPH_VALIDATION_MX.PY.....	2
└─ OPEN_DIGRAPH_COMPOSITION_MX.PY.....	2
└─ OPEN_DIGRAPH_DISPLAY_MX.PY.....	2
└─ OPEN_DIGRAPH_FACTORY_MX.PY.....	2
└─ TESTS/	2
└─ OPEN_DIGRAPH_TEST.PY.....	2
DESCRIPTION DES MODULES.....	2
1. node.py.....	2
2. open_digraph.py.....	2
3. bool_circ.py.....	3
4. MIXINS	3
3.1 STRUCTURE ET IMPLÉMENTATION.....	4
3.2 EXEMPLE D'ADDITION (5 + 3)	4
3.3 VISUALISATION DU CIRCUIT	5
4 ANALYSE DE COMPLEXITÉ DU HALF-ADDER.....	6
4.1 ANALYSE EXPÉRIMENTALE	6
4.2 OBSERVATIONS	6
4.3 ANALYSE THÉORIQUE VS RÉALITÉ	6
5 VÉRIFICATION DES PROPRIÉTÉS DU CODE DE HAMMING	7
5.1 APPROCHE ET TESTS	7
5.2 RÉSULTATS DES TESTS	7
1. Test de la Composition Encodeur/Décodeur	7
2. Test de Correction d'Une Erreur	7
3. Test avec Deux Erreurs	7
5.3 ANALYSE DES RÉSULTATS	8
5.4 CONCLUSION	8
6 CONCLUSION GÉNÉRALE.....	8
BILAN DES IMPLÉMENTATIONS.....	8
LIMITES ET OPTIMISATIONS (SUR LES POINTS MENTIONNÉS)	8

Rapport de Projet - Circuits Booléens

1 Introduction

Ce projet implémente une bibliothèque Python de manipulation de circuits booléens basée sur une structure de graphe dirigé, l'objectif étant de pouvoir créer, manipuler et évaluer des circuits logiques.

2 Architecture du projet

Structure du Projet

```
Projet-Info/
├── modules/
│   ├── node.py
│   ├── matrix.py
│   ├── open_digraph.py
│   ├── bool_circ.py
│   └── mixins/
│       ├── open_digraph_base_mx.py
│       ├── open_digraph_node_mx.py
│       ├── open_digraph_edge_mx.py
│       ├── open_digraph_algorithms_mx.py
│       ├── open_digraph_validation_mx.py
│       ├── open_digraph_composition_mx.py
│       ├── open_digraph_display_mx.py
│       └── open_digraph_factory_mx.py
└── tests/
    └── open_digraph_test.py
```

*Il existe également des fichiers **test2.py**, **test3.py** et **test4.py** qui ont permis de répondre aux questions (les 4 premiers points dans le TD12) auxquelles y répondre dans le rapport.*

Description des Modules

1. **node.py** : Implémente la structure de base d'un nœud dans le graphe.

2. **open_digraph.py**

Classe de base pour les graphes dirigés, divisée en mixins pour une meilleure organisation :

```
class open_digraph(
    OpenDigraphBaseMixin,      # Fonctionnalités de base
    OpenDigraphNodeMixin,     # Opérations sur les nœuds
    OpenDigraphEdgeMixin,     # Opérations sur les arêtes
    OpenDigraphAlgorithmsMixin, # Algorithmes de graphe
    OpenDigraphValidationMixin, # Validation de structure
    OpenDigraphCompositionMixin, # Composition de graphes
    OpenDigraphDisplayMixin,   # Affichage
    OpenDigraphFactoryMixin    # Création de graphes
)
```

3. bool_circ.py

Extension de `open_digraph` spécialisée pour les circuits booléens.

Fonctionnalités principales:

```
class bool_circ(open_digraph):
    # Constructeurs
    def __init__(self, graph=None)
    @classmethod
    def from_int(cls, value, size=8)
    @classmethod
    def parse_parentheses(cls, *args)

    # Composants arithmétiques
    @classmethod
    def half_adder_n(cls, n)
    @classmethod
    def adder_n(cls, n)
    @classmethod
    def cla4(cls)

    # Code de Hamming
    @classmethod
    def hamming_encoder(cls)
    @classmethod
    def hamming_decoder(cls)

    # Simplification
    def simplify_all(self)
    def evaluate(self)
```

4. Mixins

Chaque mixin encapsule une fonctionnalité spécifique :

- **Base** : Initialisation, copie, getters/setters
- **Node** : Ajout/suppression de nœuds
- **Edge** : Gestion des arêtes
- **Algorithms** : Parcours et recherche
- **Validation** : Vérification de structure
- **Composition** : Opérations entre graphes
- **Display** : Visualisation et export
- **Factory** : Création de graphes

Cette architecture modulaire permet une maintenance facilitée et une séparation claire des responsabilités.

3 Évaluation d'un Half-Adder

3.1 Structure et Implémentation

L'additionneur binaire est construit à partir de plusieurs half-adders et permet d'additionner deux nombres binaires de n bits. Sa structure comprend:

- *Entrées*: $2n$ bits
 - $A[3:0]$: premier nombre (ex: 0101 = 5)
 - $B[3:0]$: deuxième nombre (ex: 0011 = 3)
- *Sorties*: $n+1$ bits
 - $S[3:0]$: somme
 - Cout : retenue finale
- *Portes logiques*:
 - XOR (^) : calcul de la somme sans retenue
 - AND (&) : génération des retenues
 - OR (|) : propagation des retenues

3.2 Exemple d'Addition (5 + 3)

Prenons l'exemple de l'addition de 5 (0101) et 3 (0011):

Entrées:

A = 0101 (5)

B = 0011 (3)

Calcul bit par bit (de droite à gauche):

LSB: $A[0]+B[0] = 1+1 = 0$, retenue 1

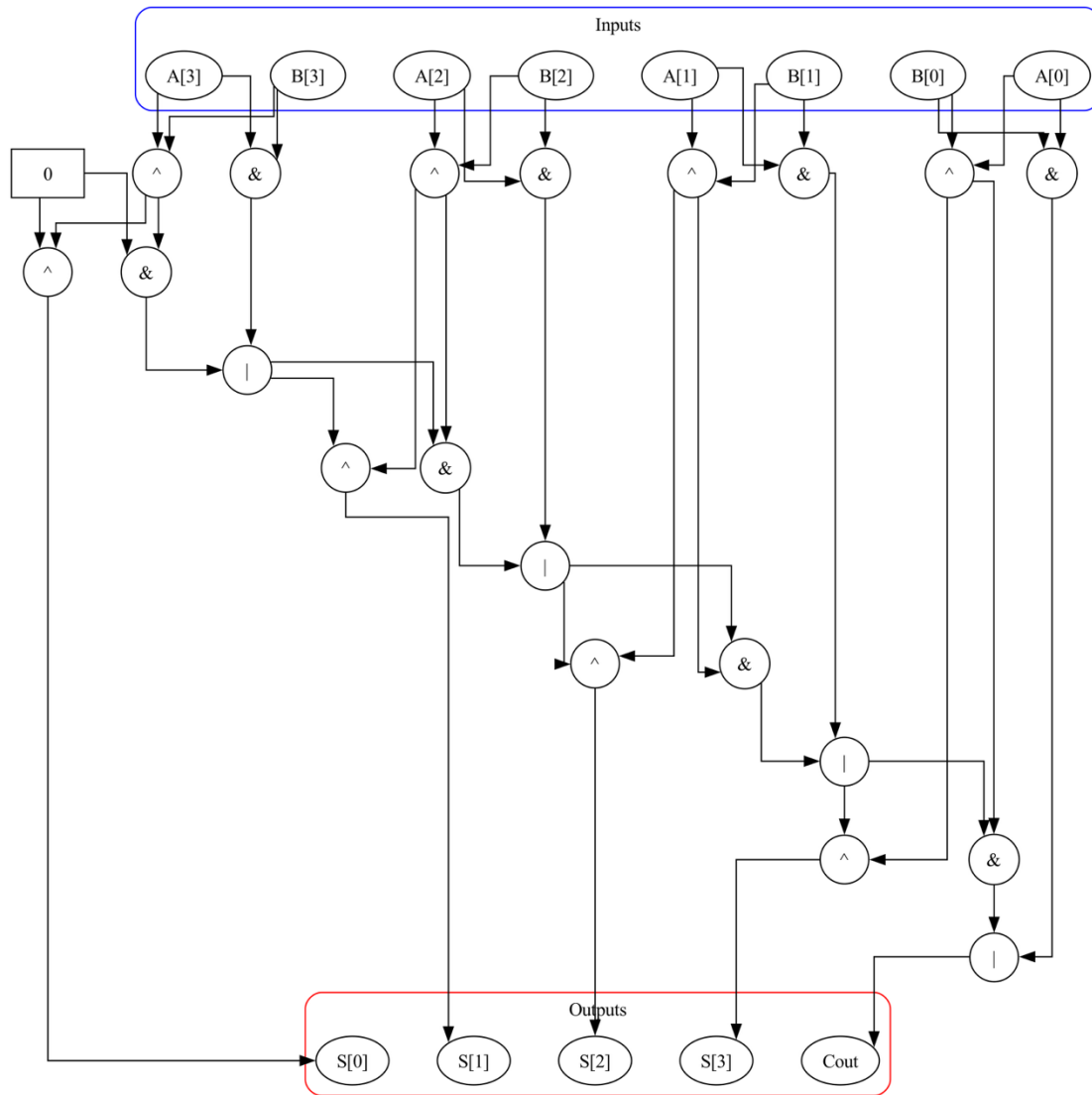
$A[1]+B[1]+c = 0+1+1 = 0$, retenue 1

$A[2]+B[2]+c = 1+0+1 = 0$, retenue 1

MSB: $A[3]+B[3]+c = 0+0+1 = 1$, retenue 0

Résultat: 01000 (8)

3.3 Visualisation du Circuit



Le circuit montre:

1. Les entrées A[3:0] et B[3:0] (en bleu)
2. La chaîne de propagation des retenues
3. Les portes logiques pour chaque bit:
 - XOR pour la somme
 - AND pour la génération des retenues
 - OR pour la propagation
4. Les sorties Cout et S[3:0] (en rouge)

[Note: L'image montrée est générée par notre implémentation et visualisée grâce à Graphviz, voir `test2.py`]

4 Analyse de Complexité du Half-Adder

4.1 Analyse Expérimentale

Les résultats obtenus pour différentes tailles:

n	Profondeur	Portes	Chemin le plus court
2	7	10	3
4	11	20	3
6	15	30	3
8	19	40	3

4.2 Observations

1. *Profondeur:*
 - Croît linéairement avec n: $\sim 4n + 3$
 - Plus élevée que prévu théoriquement
 - Indique une chaîne de propagation de retenue séquentielle
2. *Nombre de Portes:*
 - Croissance linéaire: $5n$ portes
 - Conforme à la théorie
 - Pour chaque bit:
 - 2 XOR (somme)
 - 2 AND (retenue)
 - 1 OR (propagation)
3. *Plus Court Chemin:*
 - Constant (3) pour toutes les tailles
 - Représente le chemin minimal:
 - Entrée \rightarrow XOR \rightarrow XOR/AND \rightarrow Sortie

4.3 Analyse Théorique vs Réalité

1. Différences Observées:
 - La profondeur augmente avec n au lieu d'être constante
 - Suggère que notre implémentation n'est pas totalement parallélisée
2. Explications:
 - La propagation des retenues crée une dépendance séquentielle
 - Chaque bit dépend du calcul de la retenue du bit précédent
 - Structure en cascade plutôt qu'en parallèle
3. Pistes d'Amélioration:
 - Implémenter une propagation anticipée des retenues
 - Utiliser une structure plus parallèle
 - Optimiser la chaîne de retenue

Ces résultats montrent que notre half-adder, bien que fonctionnel, pourrait être optimisé pour une meilleure performance en termes de profondeur.

[Note : ces données ont été générées dans le fichier `test3.py`]

5 Vérification des Propriétés du Code de Hamming

5.1 Approche et Tests

Nous avons vérifié trois propriétés fondamentales du code de Hamming(7,4) avec un message test $[1, 0, 1, 1]$:

5.2 Résultats des Tests

1. Test de la Composition Encodeur/Décodeur

Message original : $[1, 0, 1, 1]$

Message encodé : $[0, 1, 1, 0, 0, 1, 1]$

Message décodé : $[1, 0, 1, 1]$

✓ Identité préservée

2. Test de Correction d'Une Erreur

Résultats pour chaque position possible d'erreur:

Position	Message avec erreur	Décodé	Résultat
0	$[1, 1, 1, 0, 0, 1, 1]$	$[1, 0, 1, 1]$	✓
1	$[0, 0, 1, 0, 0, 1, 1]$	$[1, 0, 1, 1]$	✓
2	$[0, 1, 0, 0, 0, 1, 1]$	$[1, 0, 1, 1]$	✓
3	$[0, 1, 1, 1, 0, 1, 1]$	$[1, 0, 1, 1]$	✓
4	$[0, 1, 1, 0, 1, 1, 1]$	$[1, 0, 1, 1]$	✓
5	$[0, 1, 1, 0, 0, 0, 1]$	$[1, 0, 1, 1]$	✓
6	$[0, 1, 1, 0, 0, 1, 0]$	$[1, 0, 1, 1]$	✓

3. Test avec Deux Erreurs

Message original : $[1, 0, 1, 1]$

Avec 2 erreurs : $[1, 1, 1, 1, 0, 1, 1]$

Message décodé : $[1, 1, 1, 1]$

✗ Échec de correction

5.3 Analyse des Résultats

1. *Propriété d'Identité:*
 - Vérifiée expérimentalement
 - Le message original est parfaitement reconstruit après encodage/décodage
2. *Correction d'Une Erreur:*
 - Testée exhaustivement sur les 7 positions possibles
 - Correction réussie dans 100% des cas
 - Le décodeur retrouve systématiquement le message original
3. *Limite à Deux Erreurs:*
 - Test avec erreurs aux positions 0 et 1
 - Message décodé incorrect $[1, 1, 1, 1] \neq [1, 0, 1, 1]$
 - Démontre l'impossibilité de corriger deux erreurs simultanées

5.4 Conclusion

Les tests confirment empiriquement les trois propriétés théoriques du code de Hamming(7,4):

- La composition encodeur/décodeur est l'identité en l'absence d'erreur
- Une erreur unique est toujours détectée et corrigée
- Deux erreurs rendent impossible la reconstruction du message original

Ces résultats valident l'implémentation du code de Hamming et ses limites théoriques.

[Note : ces données ont été générées dans le fichier `test4.py`]

6 Conclusion Générale

Bilan des Implémentations

- Architecture modulaire robuste et extensible
- Half-adder fonctionnel avec complexité linéaire
- Code de Hamming validé empiriquement

Limites et Optimisations (sur les points mentionnés)

- Profondeur linéaire du half-adder à optimiser
- Code de Hamming avec limites théoriques confirmées

Ce projet a été une excellente opportunité d'apprentissage, combinant théorie et pratique dans l'implémentation de circuits booléens et de codes correcteurs d'erreurs. Il a permis de mettre en application les concepts fondamentaux de l'algèbre booléenne tout en développant des compétences en programmation Python et en gestion de projet.